

О ЛОКАЛИЗАЦИИ ЭЛЕКТРИЧЕСКИХ ПОЛЕЙ,
ТОКОВ, ДЖОУЛЕВОЙ ДИССИПАЦИИ ЭНЕРГИИ
И ПЕРЕГРЕВНОЙ НЕУСТОЙЧИВОСТИ В ПРОВОДЯЩЕЙ ЖИДКОСТИ
У ПОВЕРХНОСТИ ЭЛЛИПСОИДАЛЬНЫХ НЕОДНОРОДНОСТЕЙ

Л. Н. Заседка, Л. Л. Назарова, В. Ф. Резцов

(Николаев)

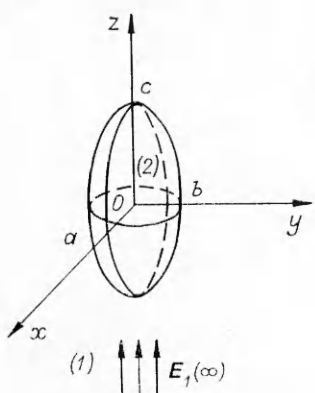
Известно [1], что наличие в нагреваемой жидкости неоднородностей может служить причиной эффективного образования областей ее взрывного вскипания. Согласно [2], такие области могут формироваться в окрестности нитей, нагреваемых электрическим током, или в области сферических включений в жидкости, через которую также пропускается электрический ток [3].

Если окружающая неоднородность жидкость характеризуется нелинейной зависимостью электрической проводимости от температуры, то в этом случае причиной взрывного гетерогенного вскипания жидкости может быть развитие в ней перегревной неустойчивости, которая, согласно [4, 5], приводит к шнуркованию тока на поверхности электродов.

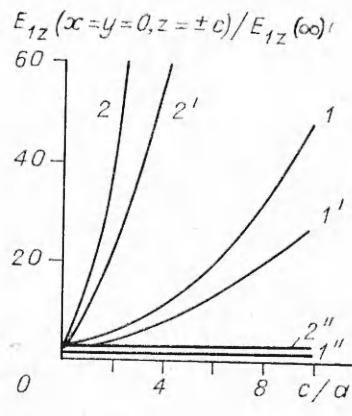
Поскольку макроскопические включения в жидкости можно удерживать в устойчивом состоянии внешними магнитными [6] или электрическими [7] полями (включение могут служить средством инициирования разряда в жидкости [8—10]), то представляется интересным более детально рассмотреть вопросы локализации полей, токов и джоулевой диссипации энергии на поверхности неоднородностей, а также условия развития перегревной неустойчивости на включениях.

Необходимо отметить, что частично эти вопросы рассматривались в работах [3, 11—14], из которых можно сделать следующие выводы: 1) хорошо проводящие неоднородности характеризуются более сплюснутым свойством концентрировать ток и джоулево тепловыделение, чем слабопроводящие; 2) в окрестности хорошо проводящих неоднородностей максимум тока локализуется вблизи точек (полюсов) на границе раздела жидкости и включения, а для слабопроводящих — в зоне экваториальной линии (фиг. 1); увеличение вытянутости проводящих включений вдоль внешнего электрического поля приводит к росту эффекта концентрации поля, тока и джоулевой диссипации энергии в окружающей жидкости.

Если, например, внешнее однородное электрическое поле $E_1(\infty)$ направлено вдоль оси z и величина электрической проводимости включений гораздо больше проводимости жидкости ($\sigma_2 \gg \sigma_1$), то, согласно [11—14], приведенная напряженность электрического поля $E_{1z}(x = y = 0, z = \pm c)/E_{1z}(\infty)$ и приведенная плотность тока $j_{1z}(x = y = 0, z = \pm c)/j_{1z}(\infty)$ в точках жидкости ($x = y = 0, z = \pm c$) обратно пропор-



Фиг. 1



Фиг. 2

циональны коэффициенту деполяризации $n^{(z)}$ включения вдоль оси z (кривая 1 на фиг. 2), а приведенное значение плотности джоулевой диссипации энергии $q_v(x = y = 0, z = \pm c)/q_{v1}(\infty)$ обратно пропорционально величине параметра $n^{(z)^2}$ (кривая 2 на фиг. 2). Указанные зависимости представлены для сфероидальной формы неоднородностей ($a = b$).

Уменьшение относительной проводимости включений σ_2/σ_1 , как видно из выражения для относительной напряженности электрического поля в точках ($x = y = 0, z = +c$)

$$(1) \quad E_{1z}(x = y = 0, z = \pm c)/E_{1z}(\infty) = \frac{1}{n^{(z)} + \frac{\sigma_1}{\sigma_2}(1 - n^{(z)})},$$

приводит к уменьшению скорости роста относительных значений плотности тока и плотности джоулевой диссипации энергии с увеличением c/a (на фиг. 2 кривые 1', 2' для $\sigma_2/\sigma_1 = 5$, 1'', 2'' для $\sigma_2/\sigma_1 = 1$).

Повышенные значения плотности объемного тепловыделения, которая, с одной стороны, согласно [4, 5], имеет определяющее значение для инициирования взрывного вскипания жидкости, а с другой — неоднородно распределена по поверхности неоднородностей [11—14], ставят задачу анализа условий развития перегревной неустойчивости жидкости в окрестности неоднородностей.

Для определения инкрементов перегревной неустойчивости будем исходить из системы уравнений переноса тепла и тока в жидкости:

$$(2) \quad \rho c_V \frac{\partial T}{\partial t} - \lambda \Delta T = \mathbf{j} \cdot \mathbf{E} - Q_n(T);$$

$$(3) \quad \nabla \cdot \mathbf{j} = 0, \quad \nabla \times \mathbf{E} = 0, \quad \mathbf{j} = \sigma(T) \mathbf{E},$$

где ρ , c_V , $\sigma(T)$, λ — плотность, удельная теплоемкость, электрическая проводимость и теплопроводность жидкости; T — температура жидкости; $Q_n(T)$ — объемные потери тепла в пограничном слое жидкости на теплообмен с материалом включений, которые известным образом [4] могут быть введены в виде объемного члена в уравнение (2).

Предположим, что существует некоторое равновесное состояние среды, которое определяется системой стационарных уравнений

$$(4) \quad -\lambda_0 \Delta T_0 = \mathbf{j}_0 \cdot \mathbf{E}_0 - Q_n(T_0);$$

$$(5) \quad \nabla \cdot \mathbf{j}_0 = 0, \quad \nabla \times \mathbf{E}_0 = 0, \quad \mathbf{j}_0 = \sigma(T_0) \mathbf{E}_0,$$

и представим возмущения температуры δT и поля $\delta \mathbf{E}$ в виде

$$(6) \quad \delta T = \delta T_a \exp(i\mathbf{k} \cdot \mathbf{r} - i\omega t), \quad \delta T = T - T_0, \quad t^2 = -1;$$

$$(7) \quad \delta \mathbf{E} = \delta \mathbf{E}_a \exp(i\mathbf{k} \cdot \mathbf{r} - i\omega t), \quad \delta \mathbf{E} = \mathbf{E} - \mathbf{E}_0,$$

где δT_a , $\delta \mathbf{E}_a$ — амплитудные значения возмущений, зависящие от пространственных координат; ω — частота возмущений; \mathbf{k} — волновой вектор; \mathbf{r} — радиус-вектор.

Подставляя выражения (6), (7) в уравнения (2), (3), получаем следующую систему уравнений, связывающую возмущения температуры и поля:

$$(8) \quad \begin{aligned} & \rho c_V \left[\frac{\delta T}{\delta T_a} \frac{\partial T_a}{\partial t} - i\omega \delta T \right] - \lambda \nabla \cdot \left[\frac{\delta T}{\delta T_a} \nabla (\delta T_a) + i\mathbf{k} \delta T \right] = \\ & = 2\sigma \Big|_{T=T_0} \mathbf{j}_0 \cdot \delta \mathbf{E} + \frac{\partial \sigma}{\partial T} \Big|_{T=T_0} \mathbf{E}_0^2 \delta T - \frac{\partial Q_n}{\partial T} \Big|_{T=T_0} \delta T, \\ & \frac{\partial \sigma}{\partial T} \Big|_{T=T_0} \left[\frac{\nabla (\delta T_a)}{\delta T_a} \delta T + i\mathbf{k} \delta T \right] \cdot \mathbf{E}_0 + \sigma \Big|_{T=T_0} [\exp(i\mathbf{k} \cdot \mathbf{r} - i\omega t) \nabla \cdot (\delta \mathbf{E}_a) + \delta \mathbf{E} \cdot i\mathbf{k}] = 0, \\ & \exp(i\mathbf{k} \cdot \mathbf{r} - i\omega t) \nabla \times (\delta \mathbf{E}_a) + i\mathbf{k} \times \delta \mathbf{E}. \end{aligned}$$

Система уравнений (8) является чрезвычайно сложной для анализа, поскольку содержит члены, пропорциональные производным амплитуд флюктуаций по координатам и времени. Если же воспользоваться предположением о слабой зависимости амплитуд флюктуаций поля и температуры от координат и времени, которое математически соответствует выполнению неравенств

$$(9) \quad \frac{1}{\delta T_a} \frac{\partial T_a}{\partial t} \ll \omega, \quad \frac{|\nabla(\delta T_a)|}{\delta T_a} \ll |\mathbf{k}|, \quad \frac{|\nabla \cdot (\delta \mathbf{E}_a)|}{|\delta \mathbf{E}|} \ll |\mathbf{k}|,$$

а физически представляет собой ограничение на частоту и период флюктуаций, то система (8) может быть представлена в более простой форме

$$(10) \quad i\omega\rho c_V - \lambda \mathbf{k}^2 + \frac{\partial \sigma}{\partial T} \Big|_{T=T_0} \mathbf{E}_0^2 - \frac{\partial Q_n}{\partial T} \Big|_{T=T_0} + 2\sigma \Big|_{T=T_0} \mathbf{E}_0 \cdot \delta \mathbf{E} / \delta T = 0,$$

$$\sigma \Big|_{T=T_0} \delta \mathbf{E} \cdot \mathbf{k} + \frac{\partial \sigma}{\partial T} \Big|_{T=T_0} \delta T \mathbf{E}_0 \cdot \mathbf{k} = 0, \quad i\mathbf{k} \times \delta \mathbf{E} = 0.$$

Выразив из последнего уравнения системы (10) возмущения поля $\delta E_x, \delta E_y$ через δE_z

$$\delta E_x = \frac{k_x}{k_z} \delta E_z, \quad \delta E_y = \frac{k_y}{k_z} \delta E_z,$$

а из второго уравнения системы (10) δT через δE_z

$$\delta T = \frac{\sigma \Big|_{T=T_0} \delta E_z \frac{\mathbf{k}^2}{k_z}}{\frac{\partial \sigma}{\partial T} \Big|_{T=T_0} (k_x E_{0x} + k_y E_{0y} + k_z E_{0z})}$$

и подставив их в первое из уравнений (10), приходим к дисперсионному уравнению

$$(11) \quad i\omega\rho c_V - \lambda \mathbf{k}^2 + \frac{\partial \sigma}{\partial T} \Big|_{T=T_0} \mathbf{E}_0^2 - \frac{\partial Q_n}{\partial T} \Big|_{T=T_0} - 2 \frac{\partial \sigma}{\partial T} \Big|_{T=T_0} \frac{(\mathbf{E}_0 \cdot \mathbf{k})^2}{\mathbf{k}^2} = 0.$$

Так как при ориентации внешнего электрического поля вдоль оси z -я и y -я компоненты поля в жидкости в окрестности точки ($x = y = 0, z = \pm c$) равны нулю, то уравнение (11) упрощается и принимает вид

$$(12) \quad i\omega\rho c_V - \lambda \mathbf{k}^2 + \frac{\partial \sigma}{\partial T} \Big|_{T=T_0} E_{1z}^2 (x = y = 0, z = \pm c) -$$

$$- \frac{\partial Q_n}{\partial T} \Big|_{T=T_0} - 2 \frac{\partial \sigma}{\partial T} \Big|_{T=T_0} \frac{E_{1z}^2 (x = y = 0, z = \pm c) k_z^2}{\mathbf{k}^2} = 0.$$

Рассмотрим возмущения, поперечные к полю $\mathbf{E}_1(\infty) = \mathbf{E}_{1z}(\infty)\mathbf{k}$, соответствующие шинированию температуры и тока в среде вдоль поля, когда $k_z = 0, k_x = k_y = 1$, а уравнение (12) принимает вид

$$(13) \quad i\omega\rho c_V - 2\lambda k_{\perp}^2 + \frac{\partial \sigma}{\partial T} \Big|_{T=T_0} E_{1z}^2 (x = y = 0, z = \pm c) - \frac{\partial Q_n}{\partial T} \Big|_{T=T_0} = 0.$$

Из уравнения (13) можно видеть, что при выполнении неравенства

$$(14) \quad \frac{\partial \sigma}{\partial T} \Big|_{T=T_0} E_{1z}^2 (x = y = 0, z = \pm c) > 2\lambda k_{\perp}^2 - \frac{\partial Q_n}{\partial T} \Big|_{T=T_0}$$

имеет место неустойчивость с инкрементом

$$(15) \quad \varepsilon(k_{\perp}) = \frac{\frac{\partial \sigma}{\partial T} \Big|_{T=T_0} E_{1z}^2 (x = y = 0, z = \pm c) - 2\lambda k_{\perp}^2 - \frac{\partial Q_n}{\partial T} \Big|_{T=T_0}}{\rho c_V}.$$

Пороговое значение волнового вектора k_{\perp}^* , которое определяется соотношением

$$(16) \quad k_{\perp}^* = \sqrt{\frac{1}{2\lambda} \left| \frac{\partial \sigma}{\partial T} \right|_{T=T_0} E_{1z}^2(x=y=0, z=\pm c) - \left| \frac{\partial Q_n}{\partial T} \right|_{T=T_0}}$$

с ростом параметров c/a и σ_2/σ_1 сдвигается в область больших значений волновых векторов.

В области неустойчивости величина инкремента $\varepsilon(k_{\perp})$ достигает максимума

$$(17) \quad \varepsilon(k_{\perp})_{\max} = \frac{\left| \frac{\partial \sigma}{\partial T} \right|_{T=T_0} E_{1z}^2(x=y=0, z=\pm c) - \left| \frac{\partial Q_n}{\partial T} \right|_{T=T_0}}{\rho c_V}$$

в точке $k_{\perp} = 0$.

Для возмущений, соответствующих расслоению в окрестности точек $(x=y=0, z=\pm c)$, когда $k_x = k_y = 0, k_z \neq 0$, дисперсионное уравнение принимает вид

$$(18) \quad i\omega\rho c_V - \lambda k_z^2 - \left| \frac{\partial Q_n}{\partial T} \right|_{T=T_0} - \left| \frac{\partial \sigma}{\partial T} \right|_{T=T_0} E_{1z}^2(x=y=0, z=\pm c),$$

откуда следует вывод об устойчивости распределения температуры и тока в среде относительно расслаивания вдоль оси z .

Примерно такую же структуру, как и (18), имеет дисперсионное уравнение для флюктуаций, связанных со шнурованием тока и температуры в точках $(x=y=0, z=\pm c)$ вблизи неоднородностей с малой относительно жидкости электрической проводимостью

$$(19) \quad i\omega\rho c_V - 2\lambda k_{\perp}^2 + \left| \frac{\partial \sigma}{\partial T} \right|_{T=T_0} E_{1z}^2(x=y=0, z=\pm c),$$

где

$$E_{1z}(x=y=0, z=\pm c) \rightarrow 0 \text{ при } \sigma_2/\sigma_1 \ll 1.$$

Из уравнения (19) следует вывод о том, что в случае слабопроводящих включений наиболее вероятным следствием нагрева среды в окрестности точек $(x=y=0, z=\pm c)$ будет стабилизация возмущений, а для хорошо проводящих неоднородностей — шнурование поля, тока и температуры в направлении приложения внешнего поля.

Если далее рассмотреть окрестность точек $(z=0)$ на поверхности эллипсоидальной неоднородности, то во внешнем поле, направленном вдоль оси z , величина напряженности поля в этих точках, согласно [11, 12], определяется выражением

$$(20) \quad E_{1z}(z=0) = \frac{E_{1z}(\infty) \sigma_1/\sigma_2}{n^{(z)} + (1-n^{(z)}) \sigma_1/\sigma_2}.$$

Если проанализировать получающиеся из общего дисперсионного уравнения (11) предельные по параметру σ_2/σ_1 случаи для поперечных и продольных относительно внешнего поля возмущений с учетом выражения (20), то оказывается, что в окрестности точек $(z=0)$ для хорошо проводящих неоднородностей наиболее вероятным следствием нелинейной зависимости проводимости от температуры будет стабилизация флюктуаций, а для слабопроводящих — формирование токовых шнурков вдоль оси z .

Сравнительный анализ величины инкрементов перегревной неустойчивости при одинаковой форме частиц показывает, что эффективность образования шнурков тока на проводящих частицах в точках $(x=y=0, z=\pm c)$ выше, чем на диэлектрических в точках $(z=0)$. Поэтому для инициирования электрического разряда в жидкостях с возрастающей зависимостью электрической проводимости от температуры (например,

водопроводная или морская [15] вода) предпочтительно использовать хорошо проводящие частицы, вытянутые вдоль электрического поля.

В заключение отметим, что с ростом вытянутости частиц вдоль поля, т. е. параметра c/a , согласно (16), увеличивается величина порогового значения волнового вектора. С другой стороны, величина $1/k_{\perp}^*$ ограничена характерным размером неоднородностей. Примем, что для сфероидальных включений $1/k_{\perp}^* \leq 0,1a$. Тогда с учетом зависимости поля $E_{1z}(x = y = 0, z = +c)$ от c/a в окрестности идеально проводящих включений ($E_{1z}(x = y = 0, z = +c) \approx 3E_{1z}(\infty)(c/a)^{5/4}$ при $1 \leq c/a \leq 10$) условие ограничения на величину диаметра включений a принимает вид

$$(21) \quad a \geq \frac{10}{3E_{1z}(\infty)(c/a)^{5/4} \sqrt{\frac{1}{2\lambda} \frac{\partial \sigma}{\partial T} \Big|_{T=T_0}}}.$$

В случае воды, для которой величина $\lambda \approx 0,6$ Вт/(м·К), а $\partial \sigma / \partial T \Big|_{T=T_0}$ при $T_0 = 293$ К, согласно [15], составляет $0,02$ Ом $^{-1} \cdot$ м $^{-1} \cdot$ К $^{-1}$, оценка для a при $c/a = 1$, $E_{1z}(\infty) = 1$ кВ/см соответствует $\approx 2,6 \cdot 10^{-4}$ м и имеет, согласно (21), тенденцию к уменьшению при росте $E_{1z}(\infty)$, c/a и уменьшении λ .

ЛИТЕРАТУРА

1. Скринов В. И. Метастабильная жидкость. М.: Наука, 1972.
2. Спирин Г. Г., Черезов А. И. Ударное вскипание жидкости около импульсного источника.— ТВТ, 1981, т. 19, № 2.
3. Шейхалиев Ш. М. Определение температуры перегрева жидкого металла, содержащего включение.— ТВТ, 1982, т. 20, № 3.
4. Раковский Г. Б. Математическая модель формирования пробоя в проводящих жидкостях.— В кн.: Физико-механические процессы при высоковольтном разряде в жидкости. Киев: Наукова думка, 1980.
5. Раковский Г. Б. Развитие неустойчивостей в начальной стадии формирования электрического разряда в проводящей жидкости.— В кн.: Электрические устройства и аппаратура электротильтримпульсных установок. Киев: Наукова думка, 1982.
6. Филиппов М. В. Взвешенный слой ферромагнитных частиц и действие на него магнитного поля.— В кн.: Прикладная магнитогидродинамика. Рига: Изд-во АН ЛатвССР, 1961, № 12.
7. Волков В. Н., Миткин Ю. А. Образование мостиков в жидкости, помещенной в электрическое поле.— Изв. АН СССР. Энергетика и транспорт, 1973, № 3.
8. Игнатов В. В., Малышев Ю. А., Чумак Г. М. Об использовании структурированных магнитным полем ферросусpenзий в электротильтримпульске.— В кн.: Тез. докл. II Всесоюз. конф. по электрическому разряду в жидкости. Киев: Наукова думка, 1980.
9. Тонконогов М. П., Ким С. В., Ушаков В. Я. Особенности импульсного электрического пробоя сусpenзий. I. Поляризационный механизм пробоя.— ЭОМ, 1970, № 5.
10. Тонконогов М. П., Ким С. В., Ушаков В. Я. Особенности импульсного электрического пробоя сусpenзий. II. Влияние параметров волны напряжения, крупности и распределения твердой фазы.— ЭОМ, 1970, № 6.
11. Резцов В. Ф. Об эффекте неоднородной локализации электрического поля и тока на неоднородностях в скрещенных Е и H полях.— ЖТФ, 1981, т. 51, № 4.
12. Резцов В. Ф. О локализации джоулева тепловыделения и температуры на неоднородностях в изотропных и анизотропных средах.— ТВТ, 1980, т. 18, № 2.
13. Резцов В. Ф. О локализации джоулева тепловыделения на неоднородностях в скрещенных электрических и магнитных полях.— ТВТ, 1981, т. 19, № 6.
14. Ковалевский А. Ф. О влиянии относительной проводимости и формы неоднородностей на характер концентрации поля, тока и джоулева тепловыделения в гетерогенных проводящих средах.— ЖТФ, 1983, т. 53, № 6.
15. Крутецкий И. В. Электромагнитные поля и волны в морской среде. Л.: Судостроение, 1982.

Поступила 26/IX 1983 г.